

Jerzy KLAMKA

Ryszard LENIOWSKI

## MODEL MATEMATYCZNY ROBOTA DWURAMIENNEGO UWZGLĘDNIAJĄCY ODKSZTAŁCALNOŚĆ RAMION

**Streszczenie.** Zaproponowano kolejne etapy tworzenia modelu matematycznego ugięcia i drgań konstrukcji mechanicznej robota przemysłowego przenoszącego ładunek. Opis zjawiska z warunkami brzegowymi dotyczy manipulatora dwuramiennego o dwóch przegubach obrotowych. Kolejno w pracy prezentowane są: kinematyka robota, równanie różniczkowe cząstkowe typu parabolicznego oraz związany z nim liniowy operator  $A$ , warunki brzegowe, wartości własne i funkcje własne operatora  $A$ . Przedstawiono także propozycje wykorzystania zjawiska w celu korekcji sterowania.

### 1. WPROWADZENIE

Dotychczasowy opis dynamiki robotów przemysłowych zakładał sztywność konstrukcji. Jednakże w układach rzeczywistych, zwłaszcza gdy robot przenosi znaczną masę z maksymalną możliwą prędkością, w fazie hamowania mogą wystąpić drgania, pogarszające dokładność pozycjonowania. Są one wynikiem odkształceń konstrukcji mechanicznej ramion robota. Układ nie może być wtedy opisywany układem równań różniczkowych zwyczajnych lecz cząstkowych. W najnowszej pracy dotyczącej tego zjawiska [3] przeprowadzono analizę dynamiki robota typu "pantografowego" uwzględniając elastyczność jednego ramienia. Podano w niej również koncepcję pomiaru odkształceń. Głównym celem niniejszej pracy jest zaprezentowanie opisu tego zjawiska dla innego rodzaju robota, o dwóch stopniach swobody. Rozważana konstrukcja to manipulator dwuramienny o dwóch przegubach obrotowych, układ mechaniczny często stosowany w robotach przemysłowych i maszynach przenoszących ładunki. W podrozdziale 2 prezentowana jest kinematyka robota względem bazowego układu odniesienia, którym jest mocowanie pierwszego przegubu. Podrozdział 3 opisuje kolejne etapy tworzenia modelu robota w formie równania różniczkowego typu parabolicznego. Ponadto zakłada się, że materiał z którego wykonana jest konstrukcja mechaniczna spełnia dostatecznie dokładnie model reologiczny

Kelvina-Voigta. W kolejnych podrozdziałach prezentowane są etapy wyznaczania rozwiązania r.r.cz. dla podanych warunków brzegowych. W zakończeniu zaprezentowano wykorzystanie mierzonego sygnału występującego odkształcenia dla celów korekcji sterowania i diagnostyki robotów przemysłowych. Przedstawione w pracy rezultaty są modyfikacją wyników przedstawionych w publikacji [2] oraz [3].

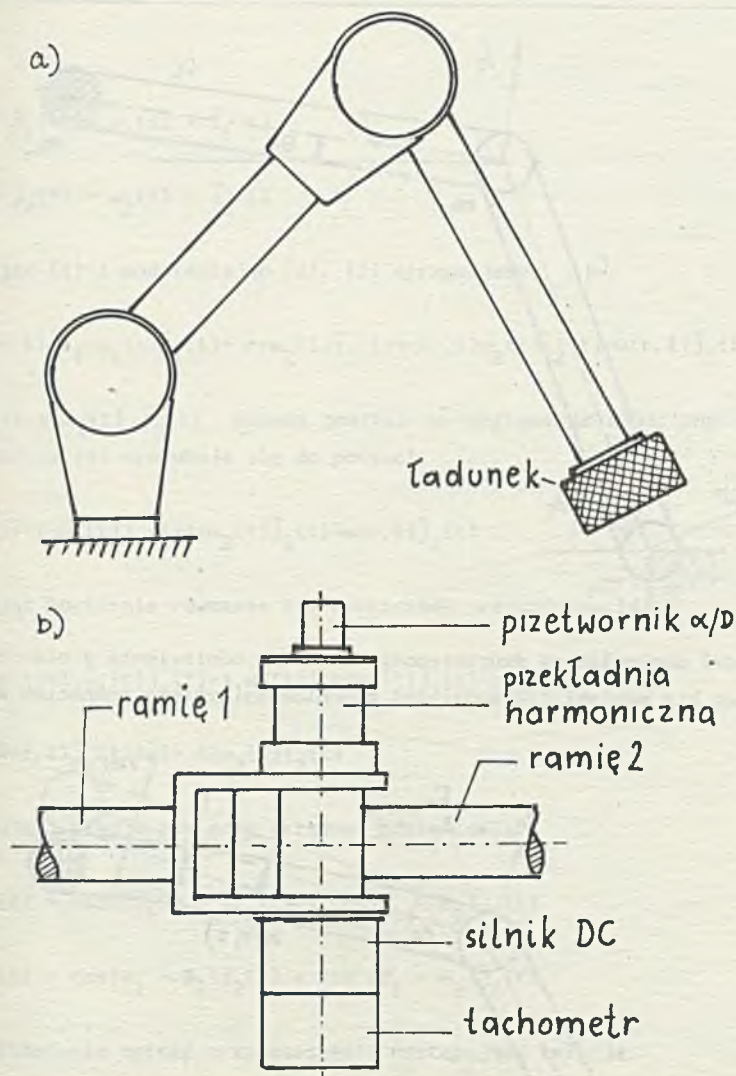
## 2. OPIS MANIPULATORA, UKŁADU ODNIESIENIA I KINEMATYKI

Rozważmy prosty manipulator dwuramienny, o dwóch przegubach obrotowych wyposażony w silniki prądu stałego i przekładnie harmoniczne o przełożeniu 1:84 (rys. 1). Ramiona mają odpowiednio długości  $l_1$  i  $l_2$ , przy czym są to odległości pomiędzy osiami obrotu oraz osią obrotu i końcem ramienia ( $l_2 > l_1$ ). Rzeczywista długość belki ramienia pierwszego jest jeszcze krótsza, bo składa się na nią mocowanie ramienia drugiego.

W dalszych rozważaniach zakładamy, że odkształceniu podlega ramię drugie. pierwsze traktujemy jako konstrukcję sztywną. Proponujemy również pewne uproszczenia w rozkładzie masy, polegające na tym, że masę przegubu (silnik, przekładnia, tachometr, przetwornik) traktujemy jako skupioną w osi obrotu ( $m_1, m_2$ ). Podobnie traktujemy obciążenie (ładunek) przymocowane do końca ramienia drugiego ( $m_0$ ). Układy odniesienia związane z manipulatorem (rys. 2) są zaczepione w osiach obrotu przegubów manipulatora. Wielkości  $\theta_1$  i  $\theta_2$  oznaczają kąty obrotu a  $\bar{i}_1, \bar{j}_1, \bar{i}_2, \bar{j}_2$  wektory jednostkowe układów odniesienia. Oznaczamy przez  $\omega_1(t) = \dot{\theta}_1(t)$ ,  $\omega_2(t) = \dot{\theta}_2(t)$  prędkości kątowe ramion, pierwszego i drugiego. Rozważmy obecnie kinetykę mechanizmu przy uwzględnieniu odkształceń drugiego ramienia. Wprowadźmy zmienną przestrzenną  $r$  oznaczającą położenie dowolnego punktu drugiego ramienia ( $0 \leq r \leq l_2$ ) oraz  $w(r, t)$  opisującą ugięcie konstrukcji spowodowane działającym na elementarny fragment ramienia momentem zginającym  $M(r, t)$ . Przez  $S(r, t)$  i  $Q(r, t)$  oznaczajmy odpowiednio siłę ścinającą oraz siłę wzdłużną (rys. 3), (rys. 4). Na ramię drugie oddziałuje (w przegubie) siła pochodząca od ramienia pierwszego, oznaczmy ją przez  $F_0$  a jej składowe przez  $\eta_0$  i  $\epsilon_0$ . Wyznaczmy położenie dowolnego punktu położeniowego na ramieniu drugim względem punktu 0 traktowanego jako początek bazowego układu współrzędnych. W zapisie wektorowym:

$$\bar{x}(r, t) = l_1 \cdot \bar{i}_1(t) + r \cdot \bar{i}_2(t) - w(r, t) \cdot \bar{j}_2(t). \quad (1)$$





Rys. 1.a) Manipulator dwuramienny, b) przegub manipulatora

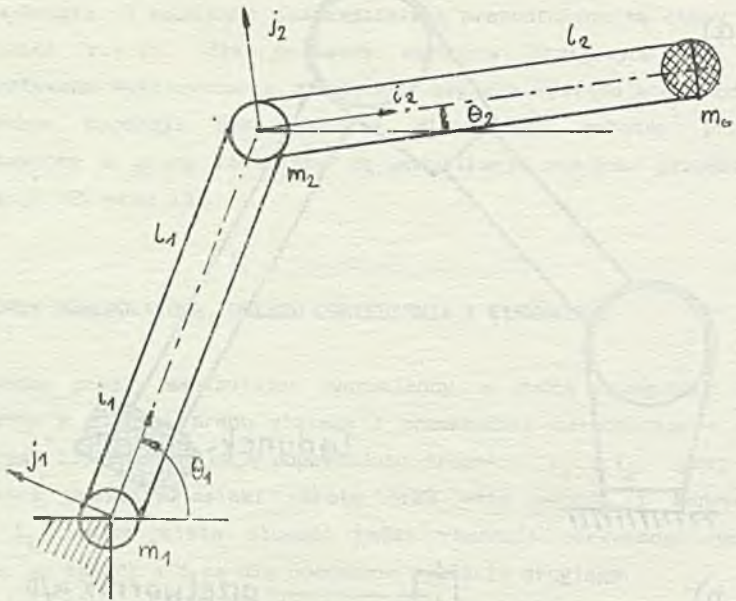
Fig. 1. Two arm manipulator

Prędkość tego punktu wyznaczamy posługując się zależnościami

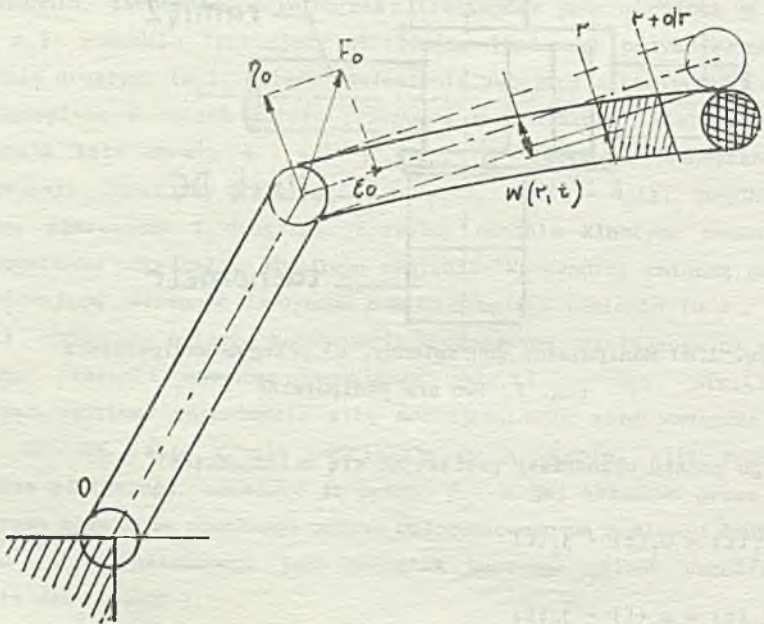
$$\frac{d}{dt} \bar{i}_1(t) = \omega_1(t) \cdot \bar{j}_1(t)$$

$$\frac{d}{dt} \bar{i}_2(t) = \omega_2(t) \cdot \bar{j}_2(t)$$

(2)



Rys. 2. Model manipulatora dwuramiennego i układy odniesienia z nim związane  
 Fig. 2. Two arm manipulator model and coordinates systems connected with it



Rys. 3. Ugięcie elastycznego ramienia manipulatora  
 Fig. 3. Elastic bending of the manipulator arm

oraz

$$\frac{d}{dt} \bar{J}_1(t) = \omega_1(t) \cdot \bar{I}_1(t) \quad (3)$$

$$\frac{d}{dt} \bar{J}_2(t) = \omega_2(t) \cdot \bar{I}_2(t)$$

Różniczkując (1) i podstawiając (2), (3) otrzymujemy:

$$\ddot{x}(r, t) = \dot{1}_1 \omega_1(t) \bar{J}_1(t) + r \omega_2(t) \bar{J}_2(t) + (r, t) \omega_2(t) \bar{I}_2(t) - \dot{w}(r, t) \bar{J}_2(t) \quad (4)$$

Iloczyn  $w(r, t) \omega_2(t) \bar{I}_2(t)$  możemy pominąć ze względu na małą jego wartość. Zatem równanie (4) zredukuje się do postaci:

$$\ddot{x}(r, t) = \dot{1}_1 \omega_1(t) \bar{J}_1(t) + r \omega_2(t) \bar{J}_2(t) - \dot{w}(r, t) \bar{J}_2(t) \quad (5)$$

Różniczkując powtórnie równanie (5) wyznaczamy przyspieszenie

$$\begin{aligned} \ddot{\ddot{x}}(r, t) = & \dot{1}_1 \dot{\omega}_1(t) \bar{J}_1(t) - \dot{1}_1 \omega_1^2(t) \bar{I}_1 + r \dot{\omega}_2(t) \bar{J}_2(t) - r \omega_2^2(t) \bar{I}_2(t) - \\ & - \dot{w}(r, t) \bar{J}_2(t) + \dot{w}(r, t) \omega_2(t) \bar{I}_2(t) \end{aligned} \quad (6)$$

Wykorzystując relacje pomiędzy układami odniesienia:

$$\bar{J}_1(t) = -\sin(\theta_1 - \theta_2) \bar{I}_2(t) + \cos(\theta_1 - \theta_2) \bar{J}_2(t) \quad (7a)$$

$$\bar{I}_1(t) = \cos(\theta_1 - \theta_2) \bar{I}_2(t) + \sin(\theta_1 - \theta_2) \bar{J}_2(t) \quad (7b)$$

możemy ostatecznie opisać przyspieszenie następującą relacją:

$$\begin{aligned} \ddot{\ddot{x}}(r, t) = & \left[ -\dot{1}_1 \omega_1^2(t) \cos(\theta_1 - \theta_2) - \dot{1}_1 \dot{\omega}_1(t) \sin(\theta_1 - \theta_2) - r \omega_2^2(t) + \right. \\ & \left. + \dot{w}(r, t) \omega_2(t) \right] \bar{I}_2(t) + \\ & + \left[ -\dot{1}_1 \omega_1^2(t) \sin(\theta_1 - \theta_2) + \dot{1}_1 \dot{\omega}_1(t) \cos(\theta_1 - \theta_2) + r \dot{\omega}_2(t) - \dot{w}(r, t) \right] \bar{J}_2(t) \end{aligned} \quad (8)$$

Równania (5) oraz (8) opisują, przy pewnych uproszczeniach, kinematykę badanego robota.



## 3. MODEL DYNAMIKI ODKSZTAŁCONEGO RAMIENIA

Zajmiemy się obecnie dynamiką elementarnego fragmentu drugiego ramienia. Zgodnie z założeniami poczynionymi w p. 2 masę jednostkową oznaczoną przez  $\rho(r)$  możemy zapisać jako:

$$\rho(r) = \bar{\rho} + m_2 \delta(r) + m_0 \delta(r-l_2) \quad (9)$$

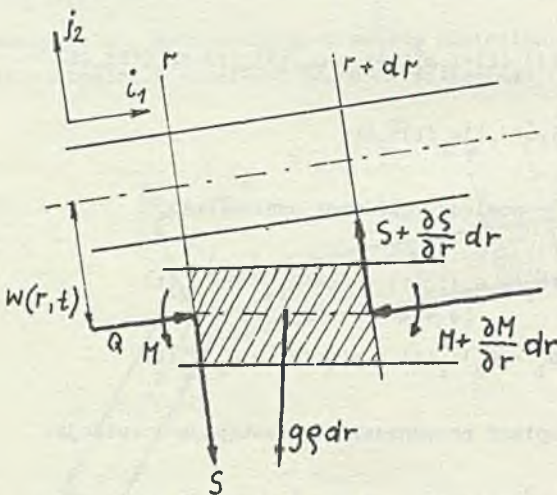
gdzie:

$\bar{\rho}$  - średnia jednostkowa masa ramienia,

$m_2$  - masa "przegubu" drugiego,

$m_0$  - masa ładunku na końcu ramienia,

$\delta(\cdot)$  - delta Diraca, wektorowe równanie sił liczone względem bazowego układu odniesienia jest następujące (patrz rys. 4):



Rys. 4. Układ sił i momentów działających na elementarny fragment ramienia drugiego

Fig. 4. The system of forces and moments acting onto the elementary piece of the second arm

$$\begin{aligned} \rho(r) \ddot{x}(r, t) dr = & \left[ -\frac{\delta Q}{\delta r} + c_0 \delta(r) - \rho(r) g \sin(\theta_2) \right] dr \bar{i}_2(t) + \\ & + \left[ \frac{\delta S}{\delta r} + \eta_0 \delta(r) - \rho(r) g \cos(\theta_2) \right] dr \bar{j}_2(t) \end{aligned} \quad (10)$$

Wykorzystajmy równanie kinematyki (8) do otrzymania równania opisującego zachowanie się elementarnego fragmentu układu kinematycznego w kierunkach  $\bar{I}_2$  oraz  $\bar{J}_2$ .

Podstawiamy (8) do (10) otrzymując:

$$\begin{aligned} & \rho(r)dr \left[ -1_1 \omega_1^2(t) \cos(\theta_1 - \theta_2) - 1_1 \dot{\omega}_1(t) \sin(\theta_1 - \theta_2) - \right. \\ & \left. - r \omega_2^2(t) + \dot{w}(r, t) \omega_2(t) \right] \bar{I}_2(t) + \rho(r)dr \left[ -1_1 \omega_1^2(t) \sin(\theta_1 - \theta_2) + \right. \\ & \left. + 1_1 \omega_1(t) \cos(\theta_1 - \theta_2) + r \omega_2(t) - \ddot{w}(r, t) \right] \bar{J}_2(t) = \\ & = dr \left[ -\frac{\delta Q}{\delta r} + \epsilon_0 \delta(r) - \rho(r) g \sin(\theta_2) \right] \bar{I}_2(t) + \\ & + dr \left[ \frac{\delta S}{\delta r} + \eta_0 \delta(r) + \rho(r) g \cos(\theta_2) \right] \bar{J}_2(t) \end{aligned} \quad (11)$$

co po rozdzieleniu składowych wektora oraz przeniesieniu wyrazów tworzy układ równań (12)

$$\left[ \frac{\delta S}{\delta r} = \rho(t) \cdot \left[ 1_1 \cdot \omega_1^2(t) \cos(\theta_1 - \theta_2) + 1_1 \cdot \dot{\omega}_1(t) \sin(\theta_1 - \theta_2) + \right. \right. \quad (12a)$$

$$\left. \left. + r \cdot \omega_2^2(t) - \dot{w}(r, t) \omega_2(t) - g \sin(\theta_2) \right] + \epsilon_0 \cdot \delta(r) \right.$$

$$\left[ \frac{\delta S}{\delta r} = \rho(r) \cdot \left[ -1_1 \omega_1^2(t) \sin(\theta_1 - \theta_2) + 1_1 \dot{\omega}_1(t) \cos(\theta_1 - \theta_2) + \right. \right. \quad (12b)$$

$$\left. \left. + r \omega_2(t) + \dot{w}(r, t) + g \cdot \cos(\theta_2) \right] - \eta_0 \cdot \delta(r) \right]$$

Równanie momentów działających na rozważany elementarny fragment ramienia (rys.4) ma postać:

$$S(r, t) = \frac{\delta}{\delta r} M(r, t) + Q(r, t) \frac{\delta}{\delta r} w(r, t) \quad (13)$$

Moment  $M(r, t)$  może być przedstawiony w formie [1] następującej:

$$M(r, t) = E \cdot I \cdot \ddot{w}(r, t) \quad (14)$$

gdzie iloczyn  $EI$  nazywany jest w mechanice "współczynnikiem sztywności zginania",  $E$  - modułu Younga,  $I$  - poprzeczny moment inercji a symbol  $\dot{\phantom{x}}$  oznacza różniczkowanie względem zmiennej  $r$ .

Podstawiając (14) do (13) otrzymujemy:

$$S(r, t) = (EI \ddot{w}(r, t))' + Q(r, t) \cdot w'(r, t) \quad (15)$$

Zróżniczkowanie względem zmiennej  $r$  równość (15) prowadzi do wyznaczenia (12b) w formie:

$$\frac{\delta S(r, t)}{\delta r} = EI \overset{''''}{w}(r, t) + (Q(r, t) \cdot \dot{w}(r, t))', \quad I, \bar{\rho} = \text{const} \quad (16)$$

Przyrównując (12b) i (16) oraz grupując wyrazy otrzymujemy równanie różniczkowe cząstkowe opisujące dynamikę elastycznego ramienia.

$$EI \overset{''''}{w}(r, t) + (Q(r, t) \cdot \dot{w}(r, t))' + \bar{\rho} \ddot{w}(r, t) = \bar{\rho} \cdot \left[ -l_1 \omega_1^2(t) \sin(\theta_1 - \theta_2) + \right. \\ \left. + l_1 \omega_1(t) \cos(\theta_1 - \theta_2) + r \omega_2(t) + g \cos(\theta_2) \right] - \eta_0 \delta(r) \quad (17)$$

dla  $t > 0$  w przedziale  $0 < r < l_2$ .

Składnik  $(Q(r, t) \cdot \dot{w}(r, t))'$  możemy zaniedbać ze względu na jego małą wagę w porównaniu do innych elementów równania (17).

Rozważmy obecnie zachowanie się układu wuzględniającego tarcie wiskotyczne występujące w układach rzeczywistych.

Do dalszej analizy przyjmujemy model reologiczny Kelvina-Voigta dokładnie przedstawiony w [4].

Jest to często stosowany model ciała liniowego lepkosprężystego. Model tworzy równoległe połączenie sprężystości i tłumienia wiskotycznego. Dla tego modelu związek pomiędzy odkształceniem a naprężeniem jest następujący:

$$\sigma(r, t) = E w(r, t) + 2 \mu \dot{w}(r, t) \quad (18)$$

gdzie:

$\sigma(r, t)$  - naprężenie,

$w(r, t)$  - odkształcenie,

$2\mu$  - wsp. lepkości.

Względniając tarcie wiskotyczne, równanie opisujące układ mechaniczny (17) poszerzy się o składnik  $2EI \cdot \mu \cdot \overset{''''}{w}(r, t)$  dając:

$$EI \overset{''''}{w}(r, t) + 2EI \cdot \mu \cdot \overset{''''}{w}(r, t) + \bar{\rho} \ddot{w}(r, t) = \bar{\rho} \left[ -l_1 \omega_1^2(t) \sin(\theta_1 - \theta_2) + \right. \\ \left. + l_1 \omega_1(t) \cos(\theta_1 - \theta_2) + r \omega_2(t) + g \cos(\theta_2) \right] - \eta_0 \delta(r) \quad (19)$$



Podstawiając  $\alpha'' = \frac{EI}{\rho}$  oraz  $z(r, t) = g \cos(\theta_2) + l_1 \dot{\omega}_1(t) \cos(\theta_1 - \theta_2) +$   
 $-l_1 \omega_1^2(t) \sin(\theta_1 - \theta_2) + r \ddot{\omega}_2(t) - \frac{\eta_0}{\rho} \delta(r)$  dochodzimy do końcowej postaci:

$$\alpha'''' W(r, t) + \ddot{W}(r, t) + 2\mu \alpha'''' W(r, t) = z(r, t) \quad (20)$$

Równanie (20) jest liniowym równaniem różniczkowym cząstkowym drugiego rzędu, opisującego dynamikę odkształconego ramienia robota przemysłowego.

#### Wyznaczanie warunków brzegowych i wartości własnych

Warunki brzegowe dla równania (20) wyznaczamy kolejno dla punktu zamocowania ramienia a następnie dla jego swobodnego końca. Ponieważ ramię jest zamocowane przegubowo więc dla  $r=0$  mamy:

$$w(0, t) = 0, \quad \text{a także} \quad \dot{w}(0, t) = 0 \quad (21)$$

Drugi koniec jest swobodny, nie działa na niego żaden zewnętrzny moment zginający, tj.  $S(l_2+0, t) = 0$ , stąd

$$\ddot{w}(l_2, t) = 0 \quad (22)$$

Kolejne warunki brzegowe wyznaczamy całkując równanie (11a) i (11b) względem zmiennej  $r$  w otoczeniu punktu  $(l_2-0, l_2+0)$

Otrzymujemy:

$$-Q(l_2-0) = m_0 \left[ l_1 \omega_1^2(t) \cos(\theta_1 - \theta_2) + l_1 \dot{\omega}_1(t) \sin(\theta_1 - \theta_2) + \right. \\ \left. -\dot{w}(l_2, t) \omega_2(t) - g \sin(\theta_2) \right] = \left( \frac{m_0}{\rho} \right) \dot{Q}(l_2-0) \quad (23)$$

oraz

$$-S(l_2-0) = m_0 \left[ -l_1 \omega_1^2(t) \sin(\theta_1 - \theta_2) + l_1 \dot{\omega}_1(t) \cos(\theta_1 - \theta_2) + \right. \\ \left. -\ddot{w}(l_2, t) + g \cos(\theta_2) \right] = \left( \frac{m_0}{\rho} \right) \dot{S}(l_2-0) \quad (24)$$

Przepisując równania (23), (24) w formie

$$Q(l_2-0) + \left( \frac{m_0}{\rho} \right) \dot{Q}(l_2-0) = 0 \quad (25)$$

$$S(1_2-0) + \left( \frac{m_0}{\rho} \right) \dot{S}(1_2-0) = 0 \quad (26)$$

dochodzimy do końcowej zależności:

$$\begin{aligned} &EI\overset{''''}{W}(1_2-0, t) + \underline{Q \cdot \dot{W}(1_2-0, t)} + \left( \frac{m_0}{\rho} \right) \cdot \left[ EI\overset{''''}{W}(1_2-0, t) + \right. \\ &\left. \underline{+ \dot{Q}\dot{W}(1_2-0, t) + Q\overset{''}{W}(1_2-0, t)} \right] = 0 \end{aligned} \quad (27)$$

Z równań (25) oraz (22) wynika, że suma składników podkreślonych jest równa zero, dlatego (27) zredukuje się do postaci:

$$\overset{''''}{W}(1_2-0, t) + \left( \frac{m_0}{\rho} \right) \overset{''''}{W}(1_2-0, t) = 0 \quad (28)$$

Ze względu na występowanie pochodnych względem zmiennej  $r$  rozwiązanie równania (20) jest zadaniem dość skomplikowanym. Posłużymy się tutaj metodą przedstawioną w pracach [2] i [3]. W celu rozwiązania równania (20) wprowadzimy za Sakawą [2] i [3] liniowy nieograniczony operator  $A$  zdefiniowany następująco:

$$A \cdot \phi(r) = \alpha \overset{''''}{\phi}(r), \quad (29)$$

którego dziedzina:  $D(A) = \left\{ \phi(\cdot) \in L^2(0, 1_2) : \right.$

$$\left. \begin{aligned} &\int_0^{1_2} \phi^2(r) dr + \gamma_1 \phi^2(0) + \gamma_2 \phi^2(1_2) < \infty, \quad \phi(0) = 0, \quad \phi'(0) = 0 \\ &\phi''(1_2) = 0, \quad \phi'''(1_2) + \left( \frac{m_0}{\rho} \right) \phi''''(1_2) = 0 \end{aligned} \right\} \quad (30)$$

Rozważmy problem wartości własnych operatora  $A$

$$A \phi(r) = \lambda \phi(r) \quad 0 < r < 1_2 \quad (31)$$

W tym celu zdefiniujemy pomocniczy parametr  $\beta$  taki, że

$$\lambda = \alpha \cdot \beta^4 \quad (32)$$

oraz

$$\overset{''''}{u}(r) = \beta^4 u(r) \quad (33)$$

Łatwo zauważyć, że funkcje  $\sin(\beta r)$ ,  $\cos(\beta r)$ ,  $\text{sh}(\beta r)$ ,  $\text{ch}(\beta r)$  będą szczególnymi rozwiązaniami równania różniczkowego (33), a równanie ogólne otrzymamy w formie sumy:

$$u(r) = a^* \sin(\beta r) + b^* \cos(\beta r) + c^* \text{sh}(\beta r) + d^* \text{ch}(\beta r), \quad (34)$$

którą możemy przekształcić do wygodniejszej postaci

$$u(r) = a(\cos(\beta r) + \text{ch}(\beta r)) + b(\cos(\beta r) - \text{ch}(\beta r)) + \\ + c(\sin(\beta r) + \text{sh}(\beta r)) + d(\sin(\beta r) - \text{sh}(\beta r))$$

Współczynniki  $a, b, c, d$  oszacujemy z równań opisujących warunki brzegowe. Dla końca ramienia mocowanego przegubowo  $u(0) = \dot{u}(0) = 0$ , stąd

$$u(0) = b\beta(-\sin(\beta 0) - \text{sh}(\beta 0)) + c\beta(\cos(\beta 0) + \text{ch}(\beta 0)) +$$

$$d\beta(\cos(\beta 0) - \text{ch}(\beta 0)) = 0, \quad \text{stąd} \quad (35)$$

$$0 = c\beta(1+1). \quad \text{Ponieważ } \beta > 0, \text{ więc } c = 0.$$

Dla swobodnego końca ramienia ( $r=l_2$ ) rozpatrzmy dwa przypadki, pierwszy - ramię jest nieobciążone na końcu, czyli  $m_0 = 0$ , wtedy  $\ddot{u}(l_2) = 0$ ,  $u(l_2) = 0$ , oraz drugi przypadek - ramię jest obciążone masą  $m_0$ , wtedy  $\ddot{u}(l_2) = 0$  i  $\ddot{u}(l_2) + \left(\frac{m_0}{\rho}\right) \cdot \ddot{u}(l_2) = 0$

Dla warunków  $\ddot{u}(l_2) = 0$ ,  $\ddot{u}(l_2) = 0$  otrzymujemy następujące związki:

$$0 = b\beta^2(-\cos(\beta l_2) - \text{ch}(\beta l_2)) + d\beta^2(-\sin(\beta l_2) - \text{sh}(\beta l_2)) \quad (36a)$$

$$0 = b\beta^3(\sin(\beta l_2) - \text{sh}(\beta l_2)) + d\beta^2(-\cos(\beta l_2) - \text{sh}(\beta l_2)) \quad (36b)$$

czyli

$$b = -d \frac{\sin(\beta l_2 + \text{sh}(\beta l_2))}{\cos(\beta l_2 + \text{sh}(\beta l_2))} \quad (37)$$

dla pierwszego warunku oraz



$$b = -d \frac{\cos(\beta l_2 + \operatorname{ch}(\beta l_2))}{\sin(\beta l_2 + \operatorname{ch}(\beta l_2))} \quad (38)$$

dla drugiego.

Porównując zależności (37) i (38) otrzymujemy wyrażenie, z którego wyliczamy kolejne wartości  $\beta_i$ ,  $i=1,2,3,\dots$

$$\cos(\beta l_2) \operatorname{ch}(\beta l_2) + 1 = 0 \quad (39)$$

$\beta_1 l_2$	$\beta_2 l_2$	$\beta_3 l_2$	$\beta_4 l_2$	$\beta_5 l_2$	...
1.875	4.694	7.855	10.996	14.137	...

Stąd wartości własne  $\lambda_1 = (\beta_1)^4$ ,  $i=1,2,3,\dots$  a odpowiadające im funkcje własne  $\phi_1(r)$  (przyjmując  $b=-1$ ) określa wzór

$$\phi_1(r) = \left[ \operatorname{ch}\left(\frac{\beta_1 r}{l_2}\right) - \cos\left(\frac{\beta_1 r}{l_2}\right) - d \left[ \operatorname{sh}\left(\frac{\beta_1 r}{l_2}\right) - \sin\left(\frac{\beta_1 r}{l_2}\right) \right] \right] \quad (40)$$

dla  $i = 1,2,3,\dots$  gdzie

$$d = \frac{\cos(\beta_1 l_2) + \operatorname{ch}(\beta_1 l_2)}{\sin(\beta_1 l_2) + \operatorname{sh}(\beta_1 l_2)}$$

Gdy ramię jest obciążone, wartości własne wyznaczamy wychodząc z zależności  $u(l_2)=0$  i  $\overset{III}{u}(l_2) + \psi \cdot \overset{III}{u}(l_2)=0$ ,  
gdzie  $\psi = \frac{\sigma}{\rho}$ . Dla pierwszego warunku przepisujemy (37)

$$b = -d \frac{\sin(\beta l_2) + \operatorname{sh}(\beta l_2)}{\cos(\beta l_2) + \operatorname{ch}(\beta l_2)} \quad (41)$$

zaś drugiego warunku otrzymujemy

$$b = d \frac{(\cos(\beta l_2) + \operatorname{ch}(\beta l_2)) + \psi \cdot \beta (-\sin(\beta l_2) + \operatorname{sh}(\beta l_2))}{(\sin(\beta l_2) - \operatorname{sh}(\beta l_2)) + \psi \cdot \beta (\cos(\beta l_2) - \operatorname{ch}(\beta l_2))} \quad (42)$$

Podstawiając analogicznie jak poprzednio proponujemy (41) i (42). Wynikiem jest bardziej złożona jak (39) następująca reakcja,

$$\psi\beta(\cos(\beta \cdot l_2) \cdot \text{sh}(\beta \cdot l_2) - \sin(\beta \cdot l_2) \text{ch}(\beta \cdot l_2)) + \cos(\beta \cdot l_2) \text{ch}(\beta \cdot l_2) + 1 = 0, \quad (43)$$

z której wyznaczamy kolejne  $\beta_1, 1+1, 2, 3, \dots$  oraz  $\lambda_1 = (\beta_1)^4$ . Funkcje własne  $\phi_1(r)$  określa wzór (40).

Położenie dowolnego punktu w chwili  $t \geq 0$  będzie opisane zależnością [2], [3]:

$$w(r, t) = \sum_{i=1}^{\infty} \langle Aw(\cdot, t), \phi_1(\cdot) \rangle \cdot \frac{\phi_1(\cdot)}{\lambda_1}, \quad (44)$$

gdzie symbol  $\langle \cdot, \cdot \rangle$  oznacza iloczyn skalarny w przestrzeni Hilberta  $l^2(0, l_2)$ . Wielkość  $w(r, t)$  można mierzyć pośrednio za pomocą czujników naprężenia (naklejanych na ramieniu w punktach  $r_0$ ). Pomiar ten można wykorzystać do poprawy pozycjonowania robota poprzez kompensację sterowania, wykorzystując na bieżąco sprzężenie zwrotne od mierzonego napięcia na mostku tensometrycznym [2], [3], bądź tworząc rozkład odkształceń w pewnych obszarach trajektorii roboczej, dla kilku ładunków.

Na podstawie powstałej "mapy" naprężeń korygujemy nastawy regulatora dla fazy pozycjonowania. W celu weryfikacji podanej powyżej koncepcji opisu modelu przewiduje się wykonanie eksperymentów dla manipulatora dwuramiennego opisanego w p. 2 konstruowanego obecnie w ramach ZAI PRZ.

#### LITERATURA

- [1] Osiński Z. - Tłumienie drgań mechanicznych PWN, Warszawa 1986.
- [2] Sakawa Y. - Feedback control of second order evaluation equations with unbounded observation, International Journal of control, vol. 41, no 3, 1985, p. 717-731.
- [3] Sakawa Y., Matsuno F. - Modeling and control of a flexible manipulator with a parallel drive mechanism, Int. J. Control, 1986, vol. 44, no 2, p. 299-313.
- [4] Timoshenko S. - Vibration Problem in Engineering, D. Van Nostrand Company, INC, 1955.

Recenzent: Prof.dr hab.inż. Bogdan Skalmierski

Wpłynęło do Redakcji 16.09.1988 r.

## МАТЕМАТИЧЕСКАЯ МОДЕЛЬ ДВУХПЛЕЧНОГО РОБОТА, УЧИТЫВАЮЩАЯ ДЕФОРМАЦИЮ ПЛЕЧ

### Р е з ю м е

В статье предложены последовательные этапы создания математической деформации и вибрации механической конструкции промышленного робота, переносящего груз. Описание этого явления в граничных условиях касается двухплечного манипулятора с двумя вращательными шарнирами. Последовательно в работе представлена кинематика робота, дифференциальное уравнение параболического типа, взаимосвязанный с этим уравнением - линейный оператор  $A$ , граничные условия и функции оператора  $A$ . Использование этого явления предложено в целях корректировки управления.

### MATHEMATICAL MODEL OF TWO LINK MANIPULATOR WITH REGARD TO FLEXIBLE ARMS

#### S u m m a r y

In this paper there were presented successive stages of generation mathematical model of bunding and vibration for mechanical construction of industrial robot carrying a heavy end - effector.

Description of this phenomenon with boundary conditions refers to the two - link manipulator with the revolute joint. There were described robot kinematics, partial differential equation of parabolic type with boundary conditions, linear operator  $A$  connected with the PDE, eigenvalues and eigenfunction of  $A$  operator.

In the final part of this paper there was proposed application of this phenomenon to correct systems control.